

8. Дубовой Л. В., Зайцев В. А., Попонин В. П. Влияние добавки водорода на эффективность генерации импульсного CO<sub>2</sub>-лазера, возбуждаемого несамостоятельным разрядом.— «Письма в ЖТФ», 1975, т. 1, вып. 9, с. 411.
9. Басов Н. Г., Бережной И. А., Бойко В. А., Данилычев В. А., Зворыкин В. Д., Игнатьев В. В., Холин И. В., Чугунов А. Ю. Об одной возможности применения электроионизационных CO<sub>2</sub>-лазеров для целей ЛТС.— «Письма в ЖТФ», 1975, т. 1, вып. 24, с. 1105.
10. Пономаренко А. Г., Солоухин Р. И., Тищенко В. П. Оптимизация и предельные энергетические характеристики CO<sub>2</sub>-лазеров.— ПМТФ, 1975, № 5, с. 120.
11. Бирюков А. С., Конюхов В. К., Луковников А. И., Сериков Р. И. Релаксация колебательной энергии уровня (0091) молекулы CO<sub>2</sub>.— ЖЭТФ, 1974, т. 66, вып. 4, с. 1248.
12. Данилов В. В., Кругляков Э. П., Шунько Е. В. Измерение вероятности перехода P(20) (0091–1090) CO<sub>2</sub> и ударного уширения при столкновениях CO<sub>2</sub>, N<sub>2</sub>, He.— ПМТФ, 1972, № 6, с. 24.
13. Афонин Ю. В. Компактный источник ускоренных электронов и электроионизационный CO<sub>2</sub>-лазер для космических исследований.— Дис. на соиск. уч. степени канд. техн. наук. Новосибирск, ИТПМ СО АН СССР, 1975.

УДК 621.375.826

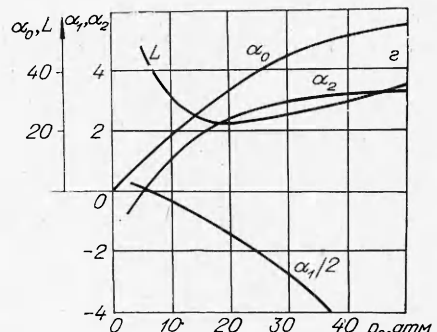
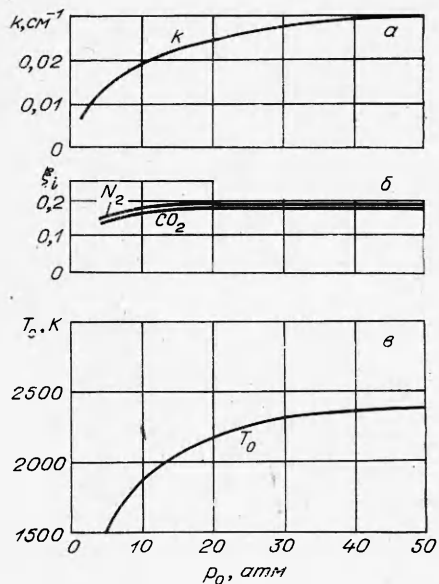
**О ВЛИЯНИИ НАГРЕВА СВЕРХЗВУКОВОГО ПОТОКА  
НА КОЭФФИЦИЕНТ УСИЛЕНИЯ  
В ГАЗОДИНАМИЧЕСКОМ ЛАЗЕРЕ НА УГЛЕКИСЛОМ ГАЗЕ**

С. А. Лосев, В. Н. Макаров

(Москва)

В данной работе постановка задачи такая же, как и в работе [1], т. е. оптимизация проводилась методом конфигураций по начальным условиям, составу и геометрии сопла. Переход к безразмерным переменным показывает, что в рассматриваемой задаче параметрами оптимизации являются величины  $p_0$ ,  $T_0$ ,  $\xi_i$ ,  $\lambda$ ,  $\beta_j$ , где  $p_0$ ,  $T_0$  — начальное давление и начальная температура;  $\xi_i$  — молярные доли;  $\lambda = p_0 l$  ( $l$  — характерная длина);  $\beta_j$  — параметры, определяющие безразмерную функцию  $A/A_*$ , где  $A$  и  $A_*$  — площадь сечения сопла соответственно в произвольной точке и геометрической критике. В работе [1] в качестве  $\beta_j$  выбраны значения производных в некоторых фиксированных узлах разбиения  $\bar{x}_j = x_j/L$ , здесь  $\bar{x}$  — безразмерное расстояние по оси  $x$ , отнесенное к длине сопла  $L$ . Для определения  $A/A_*$  между узлами проводилась квадратичная аппроксимация. Выберем  $l = L$ , тогда для плоскопараллельных течений  $\beta_j = \alpha_j L = \frac{2 \operatorname{tg} \theta_j}{h_*} L$ , где  $\theta_j$  — углы наклона контура сопла в точках  $x_j = \bar{x}_j L$ ;  $h_*$  — высота в критическом сечении сопла. Будем рассматривать фиксированные значения начального давления  $p_0$ , тогда в качестве параметров оптимизации можно выбрать величины  $T_0$ ,  $\xi_i$ ,  $\alpha_j$ ,  $L$  [1]. В отличие от [1] параметры  $\alpha_j$  ( $j = 1, 2$ ) могли принимать отрицательные значения.

На фиг. 1 приведены результаты оптимизации для смеси CO<sub>2</sub> + N<sub>2</sub> + He по указанным параметрам в зависимости от начального давления  $p_0$ . Приведенные результаты показывают, что вслед за значительным расширением сверхзвукового потока в области геометрической критики сопла вниз по потоку в оптимальном режиме наблюдается некоторое сужение, т. е.  $\alpha_1$  и  $\alpha_2$  могут принимать отрицательные значения. При малых начальных

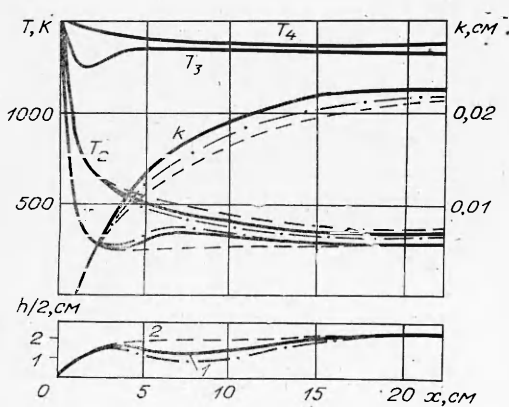


Ф и г. 1

давлениях ( $p_0 < \bar{p}_0$ )  $\alpha_1 > 0$ ,  $\alpha_2 < 0$ , т. е. поджатие потока должно происходить ближе к выходу из сопла, при больших начальных давлениях ( $p_0 > \bar{p}_0$ )  $\alpha_1 < 0$ ,  $\alpha_2 > 0$ , т. е. наблюдается поджатие в средней части

сверхзвуковой области течения в сопле. При давлении  $p_0 \approx \bar{p}_0$  получаем, что  $\alpha_1 \sim 0$ ,  $\alpha_2 \sim 0$ , т. е. сечение потока после начального расширения и параболической переходной области ( $\alpha_0 > 0$ ) в дальнейшем практически не меняется вплоть до оптимального расстояния  $L$ . Для смеси  $\text{CO}_2 + \text{N}_2 + \text{He}$  оказалось, что  $\bar{p}_0 \sim 6$  атм. Отметим, что углы наклона при поджатии и последующем расширении потока значительно (более чем по порядку величины) меньше, чем угол начального раскрытия сопла, т. е.  $|\alpha_1/\alpha_0| < 1/10$ ,  $|\alpha_2/\alpha_0| < 1/10$ .

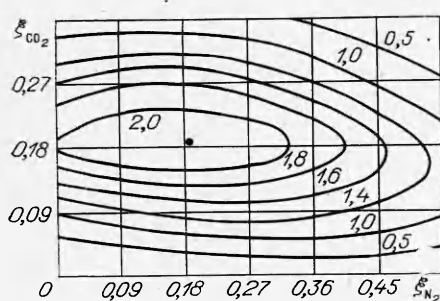
Роль обнаруженного поджатия потока становится понятной из рассмотрения кривых распределения поступательной и колебательных температур в оптимальном режиме течения, например, для  $p_0 = 15$  атм (фиг. 2). Сначала попытаемся выяснить необходимость поджатия. Рассмотрим неоптимальный контур 2 без поджатия с длиной  $L$ , отношением площади сечения на выходе из сопла к критическому сечению  $A/A_*$  и значением  $\alpha_0$  таким же, что и у оптимального сопла 1. Эти сопла отличаются в большей степени в области поджатия. Оказывается, что значения колебательной температуры  $v_3$ -моды  $\text{CO}_2$  и  $\text{N}_2$  ( $T_3$  и  $T_4$ ) замораживаются на участке до перехода к поджатию. Поэтому небольшая вариация контура, после того как изменение  $T_3$  и  $T_4$  прекратилось, не может существенно повлиять на их значения на последующем участке сопла, т. е. значения  $T_3$  и  $T_4$  на этом участке слабее зависят от формы контура, чем значение колебательной температуры  $v_2$ -моды  $\text{CO}_2(T_2)$ . Величина  $T_2$  в области, где допускается вариация контура сопла без существенного влияния на значения  $T_3$  и  $T_4$ , продолжает релаксировать, поэтому при поджатии (т. е. при переходе от сопла 2



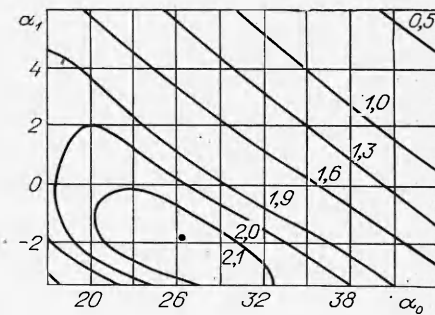
Ф и г. 2

до сопла 1) значения  $T_3$  и  $T_4$  на этом участке слабее зависят от формы контура, чем значение колебательной температуры  $v_2$ -моды  $\text{CO}_2(T_2)$ . Величина  $T_2$  в области, где допускается вариация контура сопла без существенного влияния на значения  $T_3$  и  $T_4$ , продолжает релаксировать, поэтому при поджатии (т. е. при переходе от сопла 2

к соплу 1) несколько увеличивается значение поступательной температуры  $T$ , что увеличивает скорость релаксации нижнего лазерного уровня, увеличивая разницу между  $T_3$  и  $T_2$ . С другой стороны, если брать контур с большим поджатием, чем оптимальное, то начинает релаксировать верхний лазерный уровень. Отметим, что абсолютное значение достигаемого при переходе от сопла 2 к соплу 1 выигрыша по величине  $k$  невелико.



Фиг. 3



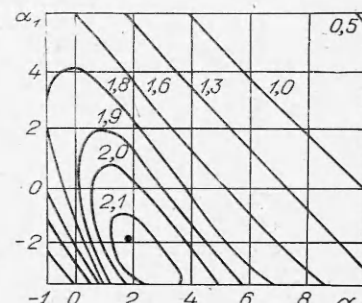
Фиг. 4

Слабая зависимость оптимального коэффициента усиления  $k$  от значений  $\alpha_1$  и  $\alpha_2$  показывает, что дальнейшее увеличение количества определяющих параметров  $\alpha_i$  ( $i \geq 3$ ) приведет к весьма небольшому увеличению оптимального  $k$  и поэтому параметры  $\alpha_0$ ,  $\alpha_1$  и  $\alpha_2$  достаточны при постановке задачи оптимизации.

Для постановки эксперимента важно иметь количественные сведения о характере изменения параметров вблизи оптимальных значений. Представление об этом дают карты рельефа оптимизируемой поверхности по двум параметрам: например, для состава газа — по молярным долям  $\xi_{CO_2}$  и  $\xi_{N_2}$  (остальное — молярная доля гелия) (фиг. 3), для параметра начального угла раскрытия  $\alpha_0$  и величины  $\alpha_1$  (фиг. 4), а также для величин  $\alpha_1$  и  $\alpha_2$  (фиг. 5), характеризующих профиль остальной части сопла (на фиг. 3—5  $p_0=15$  атм). При этом в каждом случае все остальные параметры, кроме рассматриваемых, были взяты оптимальными. На фиг. 3 видно, что величина коэффициента усиления вблизи оптимума более чувствительна к содержанию углекислого газа, нежели азота.

Наиболее показателен с точки зрения поставленной задачи рельеф искомой поверхности в переменных  $(\alpha_0, \alpha_1)$  и  $(\alpha_1, \alpha_2)$ . Из фиг. 4, 5 видно, что уровни одинаковых значений коэффициента усиления «вытянуты» вдоль линий  $A/A_* = \text{const}$ . Можно показать, что в координатах  $(\alpha_0, \alpha_1)$  геометрическое место точек, на которых имеет место постоянное отношение  $A/A_*$ , определяется соотношением  $\alpha_0 = \alpha_0 - 4(\alpha_1 - \alpha_2)$ , а в координатах  $(\alpha_1, \alpha_2)$  — соотношением  $\alpha_1 = \alpha_1 - 2(\alpha_2 - \alpha_0)$  (здесь  $\alpha_0, \alpha_1, \alpha_2$  — значения этих переменных в оптимальной точке). Приведенные результаты показывают, что в области оптимума рельеф поверхности является плавным.

Наличие поджатий в сверхзвуковом потоке, как известно, может привести (прежде всего при больших значениях  $h_*$  и, как следствие, больших углах наклона контура сопла 2



Фиг. 5

ла) к появлению сильных ударных волн и нежелательной перестройке потока. Поэтому такое сужение потребует внимательного анализа неоднородности потока. По существу, обсуждаемое явление связано с некоторым подогревом газа в сверхзвуковой области течения и оптимальные значения  $\alpha_j$  позволяют получить это наилучшее распределение температуры и давления сверхзвукового потока. В этом смысле полученные результаты обладают большей общностью, поскольку необходимое повышение температуры газа можно осуществить и иными методами (вдув горячего газа, электроподогрев и т. п.), используя при этом сопла без поджатия. Такой подогрев можно осуществить и с помощью системы достаточно слабых ударных волн (косых скачков уплотнения) аналогично предлагаемому в [2].

*Поступила 17V1976*

#### ЛИТЕРАТУРА

1. Лосев С. А., Макаров В. Н. Многофакторная оптимизация газодинамического лазера на углекислом газе. I. Оптимизация коэффициента усиления.— «Квант. электроника», 1975, т. 2, № 7, с. 1454—1458.
2. Blackman A. W. Laser device. Patent USA, 1971, N 3566297.

УДК 533.9+621.039.61

### ВЫСОКОЭНЕРГЕТИЧЕСКАЯ ЧАСТЬ ИОННОЙ ФУНКЦИИ РАСПРЕДЕЛЕНИЯ В МНОГОПРОБОЧНОЙ МАГНИТНОЙ ЛОВУШКЕ

*Ю. В. Васильев, Д. Д. Рютов*

(Новосибирск)

Существенное уменьшение теплопроводности и скорости продольного расширения плазмы в многопробочных магнитных ловушках [1] делает такие системы весьма перспективными с точки зрения осуществления термоизоляции плотной плазмы вдоль магнитного поля в термоядерном реакторе. Количественно поведение плазмы в многопробочных ловушках может быть описано с помощью уравнений газодинамического типа, полученных в работах [2, 3]. Справедливость этих уравнений подтверждена экспериментально на установках со щелочной плазмой [4, 5].

На установках следующего поколения с дейтериевой или дейтерий-тритиевой плазмой актуальными станут измерения выхода нейтронов из плазмы (прежде всего в диагностических целях). В связи с этим возникает вопрос о нахождении связи между выходом нейтронов и макроскопическими параметрами плазмы.

Решение этой задачи в применении к рассматриваемым установкам связано со следующей специфической особенностью. Система газодинамических уравнений [1—3] правильно описывает функции распределения частиц, длина свободного пробега которых  $\lambda$  мала по сравнению с длиной установки  $L$ . В практических интересных случаях это условие выполняется для основной массы частиц плазмы, однако, как хорошо известно (см., например, [6]), вклад в нейтронный выход при не слишком больших температурах плазмы ( $T \leq 40—50$  кэВ) вносят главным образом высоконергетические «хвосты» функций распределения. А так как длина свободного пробега быстро растет с энергией, может оказаться, что для нахождения нейтронного выхода требуется знать функции рас-